

# Угловые и энергетические распределения нейтронов на границе двух сред

B. A. Дулин, B. Г. Двухшерстнов, Ю. А. Казанский, И. В. Шугар

Измерены угловые и энергетические распределения быстрых нейтронов ( $0,4\text{--}3,4 \text{ Мэв}$ ), выходящих из воды, графита, алюминия, железа, никеля и свинца на границе среда — вода, после прохождения толщин, равных  $1,5\text{--}4,6$  длины свободного пробега. Источником нейтронов служила реакция  $D(D, n)He^3$ . Измерения проводились с помощью однокристального сцинтилляционного спектрометра быстрых нейтронов с дискриминацией  $\gamma$ -лучей. Результаты измерений сравниваются с расчетами.

Наиболее полными характеристиками нейтронного потока в среде являются угловое и энергетическое распределения. Точное решение кинетического уравнения с целью нахождения этих характеристик связано с большими трудностями. Приближенные методы требуют экспериментальной проверки, тем более что система констант не является полной. Представляют интерес глобальные эксперименты, так как они дают рекомендации, важные для практического конструирования защит; кроме того, могут служить критерием правильности выбора приближенных методов расчета и, наконец, позволяют уточнить систему констант.

Интенсивности существующих моноэнергетических источников и эффективности нейтронных спектрометров быстрых нейтронов до последнего времени были недостаточны для детального изучения нейтронного потока в средах. Высокоэффективные детекторы нейтронов [1, 2] позволили провести измерения угловых и энергетических распределений для случая точечного изотропного источника с энергией  $E_0 \approx 3,2 \text{ Мэв}$  на расстояниях  $1,5\text{--}4,6$  длины свободного пробега в интервале углов  $20\text{--}70^\circ$ . Настоящая работа является продолжением цикла, начатого работой [3].

## Экспериментальное устройство

Источником нейтронов служил каскадный нейтронный генератор. Дейтоны с энергией  $400 \text{ кэв}$  попадали на  $Zr-D$ -мишень толщиной  $200 \text{ кэв}$ , при этом вдоль пучка дейтонов нейтроны имеют энергию  $3,08\text{--}3,4 \text{ Мэв}$ . Схема экспериментального устройства показана на рис. 1. Выделение потока нейтронов под определенным углом осуществлялось с помощью

конического коллиматора с угловым разрешением  $\sim 8^\circ$ . Для того чтобы нейтроны, вышедшие из исследуемой среды в окрестности точки  $A$  в направлении  $0^\circ$ , не рассеивались в воде, на границе раздела имелась воздушная полость. Фон нейтронов регистрировался при залитом

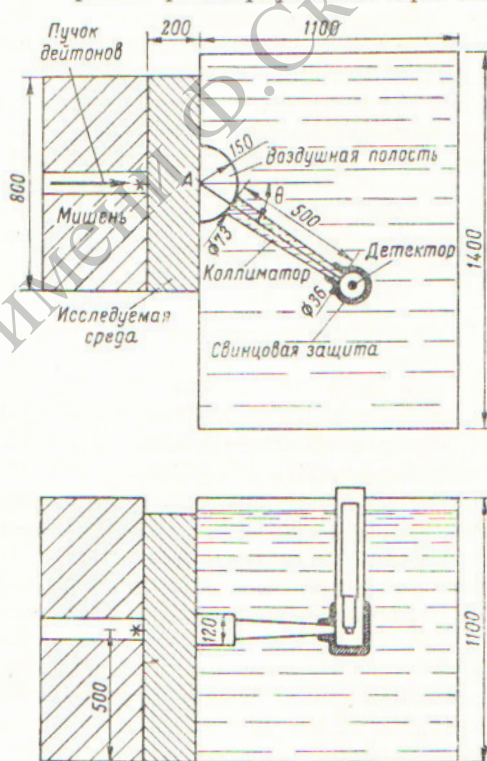


Рис. 1. Схема экспериментального устройства.

водой коллиматоре. В воду добавлялось около 1% борной кислоты, а спектрометр закрывался сзади и с боков слоем свинца толщиной 1,5 см. При этом соотношение между потоком  $\gamma$ -лучей и нейтронов при открытом коллиматоре даже под углом  $70^\circ$  не превышало 10. У всех исследуемых сред отношение эффекта нейтронов к их фону составляло около 5—6 и 20—30 для углов  $70$  и  $20^\circ$  соответственно.

При измерении энергетических распределений за исследуемой средой детектор помещался

в воздушную полость вблизи точки A. Нейтронные спектры измерялись сцинтилляционным спектрометром быстрых нейтронов, описанным в работе [4]. В спектрометре использовался фотоумножитель ФЭУ-43. Дискриминация  $\gamma$ -лучей осуществлялась по схеме, описанной в работе [1], с той лишь разницей, что в динодной и анодной цепях использовались диоды D-10, а после сложения импульсов отрицательная составляющая полученного импульса закорачивалась на землю через диод D-11. Спектроскопический порог был равен 0,5 МэВ при ослаблении счета  $\gamma$ -лучей в  $10^3$  раз. Амплитудные распределения импульсов измерялись на стоканальном анализаторе. Энергетическая шкала спектрометра устанавливалась и периодически контролировалась по измерениям амплитудного распределения нейтронов под углом  $0^\circ$ . Стабильность аппаратуры (главным образом фотоумножителя) составляла 2–3% на протяжении всех измерений. Под каждым углом амплитудное распределение измерялось три–пять раз.

Преобразование амплитудных распределений в энергетические спектры производилось по формуле

$$\Phi(E_n) = - \frac{E_n}{1 - \exp[-\Sigma(E_n) d]} \cdot \frac{dV}{dE} \times \\ \times \frac{d}{dV} \left[ N(V) \frac{dV}{dE} \right],$$

где  $\Sigma(E_n)$  — макроскопическое сечение рассеяния нейтронов на водороде кристалла;  $d$  — толщина кристалла;  $dV/dE$  — производная амплитуды импульса по энергии.

Таким образом, обработка результатов измерений сводилась к умножению измеренного амплитудного распределения  $N(V)$  на  $dV/dE$  (каждого канала), дифференцированию в шкале амплитуд импульсов методом «подвижной полосы» [5] и затем умножению на  $dV/dE$  и учету эффективности регистрации. Оказалось, что дифференцирование методом подвижной полосы позволяет использовать довольно малый шаг ( $\sim 70$  кэВ) и это не приводит к «раскачке» результатов.

Дифференцирование аппаратурных спектров, как известно, не является строгим методом обработки, так как форма линии кристалла отличается от «столика» ( $dE/E_n$ ). Но, как показал В. Г. Золотухин, это несущественно для непрерывных спектров, даже при работе с кристаллами больших размеров. На рис. 2 показан полученный указанным способом спектр нейтронов под углом  $0^\circ$  без исследуемой

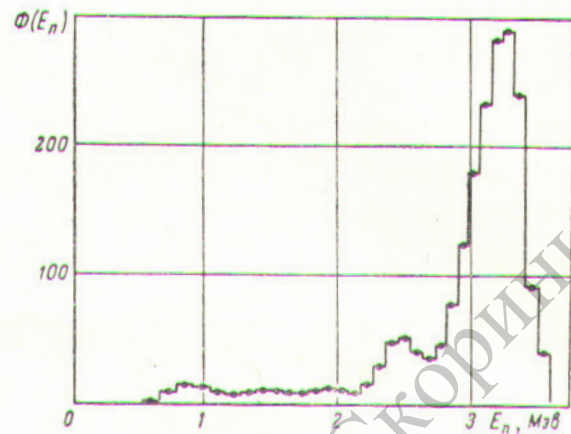


Рис. 2. Энергетическое распределение нейтронов под углом  $0^\circ$  без исследуемой среды.

среды. Видно, что в спектре при энергии  $\sim 2,5$  МэВ проявляется слабый максимум, обусловленный главным образом тем, что не учитывалась реальная форма линии в кристалле

### Обсуждение результатов

**Угловые энергетические распределения быстрых нейтронов.** На рис. 3 представлены экспериментально полученные энергетические распределения нейтронов под углом  $20, 40$  и  $70^\circ$ , а на рис. 4 — угловые распределения энергетических групп нейтронов  $0,4$ – $1,2$ ;  $1,2$ – $2,0$ ;  $2,0$ – $2,8$ ;  $2,8$ – $3,4$  МэВ после прохождения слоев воды ( $3,3 \lambda_t$ ), графита ( $3,3 \lambda_t$ ), алюминия ( $1,5 \lambda_t$ ), железа ( $3,0$  и  $4,6 \lambda_t$ ), никеля ( $2$  и  $4 \lambda_t$ ) и свинца ( $3 \lambda_t$ ). Все толщины даны в длинах свободного пробега для нейтронов с энергией 3,4 МэВ. Из рисунков видно, что во всех средах формы энергетических спектров изменяются нерегулярно. Но везде, кроме воды, достаточно четко проявляется пик упругого рассеяния (для железа проявляется пик, обусловленный неупругим рассеянием) и наблюдается смягчение спектра с увеличением угла. В первом приближении зависимость энергетических групп от угла во всех средах одинакова. На зависимость энергетических групп от угла слабо влияет и величина пробега.

На рис. 5 показаны угловые распределения группы  $2,8$ – $3,4$  МэВ и результаты расчета в приближении однократного рассеяния, которые были проведены с изотропными и реальными анизотропными сечениями рассеяния. Экспериментальные и расчетные угловые распределения умножались на  $\sin \theta$ . Расхождения между рас-

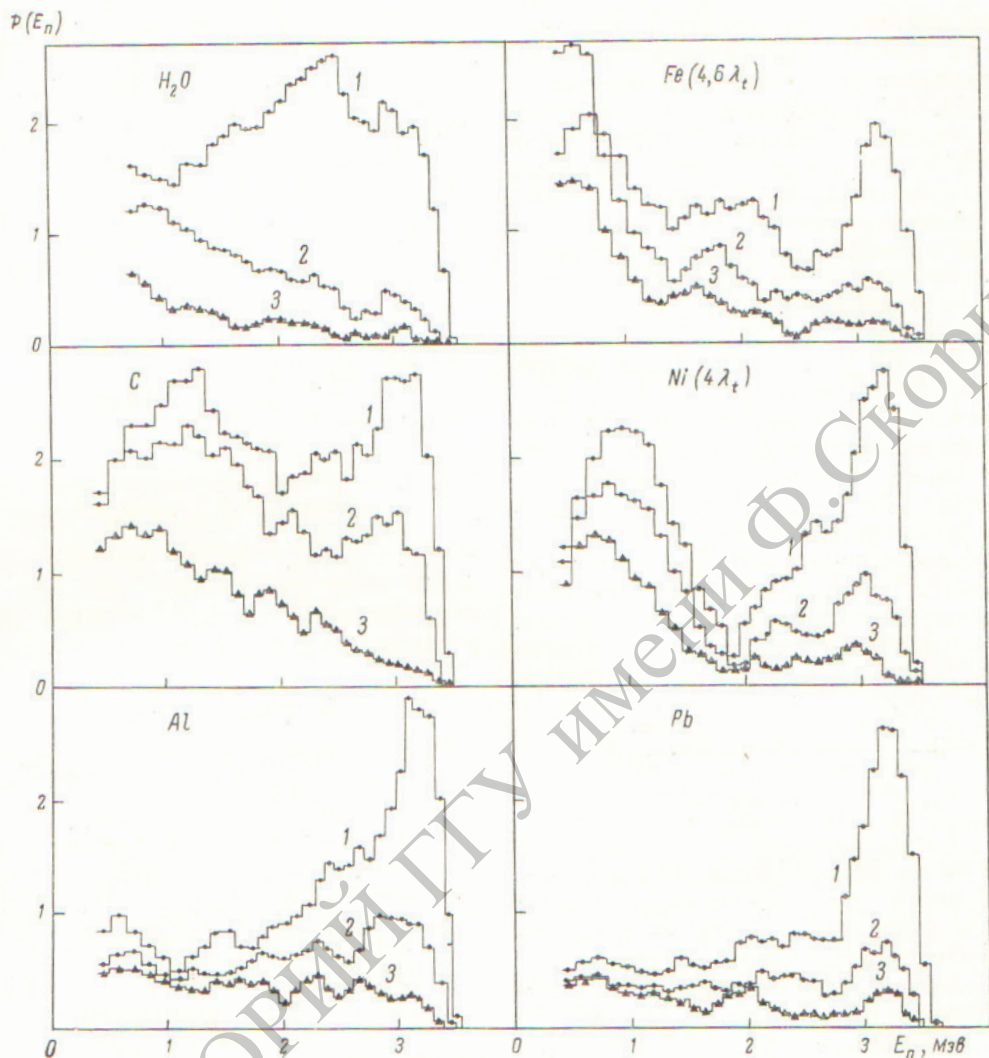


Рис. 3. Энергетические распределения нейтронов в воде, графите, алюминии, железе, никеле и свинце под углом:  
1— $20^\circ$ ; 2— $40^\circ$ ; 3— $70^\circ$ .

четом и экспериментом для группы  $2,8-3,4$  Мэв указывают на существенную роль многократного рассеяния.

Для практических целей весьма полезным может быть угловое распределение дозы нейтронов. На рис. 6 показано угловое распределение дозы нейтронов с энергией  $0,4-3,4$  Мэв, умноженное на  $\sin \theta$ , т. е.  $\sin \theta \int_{0,4}^{3,4} \Phi(E, \theta)$

$D(E) dE$ .

Зависимость дозы от энергии  $D(E)$  взята из работы [6]. Данные для углов  $0-20^\circ$  могут быть получены из расчетов в приближении

однократного рассеяния для группы  $2,8-3,4$  Мэв и путем экстраполяции для остальных энергетических групп. Как видно из рис. 6, в интервале углов  $20-70^\circ$  величина дозы для всех сред, кроме воды, слабо зависит от угла и может быть описана формулой

$$D(\theta) \sim \frac{1}{\sin \theta} \exp \left( -\frac{\theta}{\theta_0} \right),$$

где  $\frac{2\pi}{3} \leq \theta_0 \leq 2\pi$ . Для воды зависимость дозы от угла близка к зависимости дозы  $\gamma$ -лучей [7] ( $\theta_0 \approx \frac{\pi}{4}$ ).

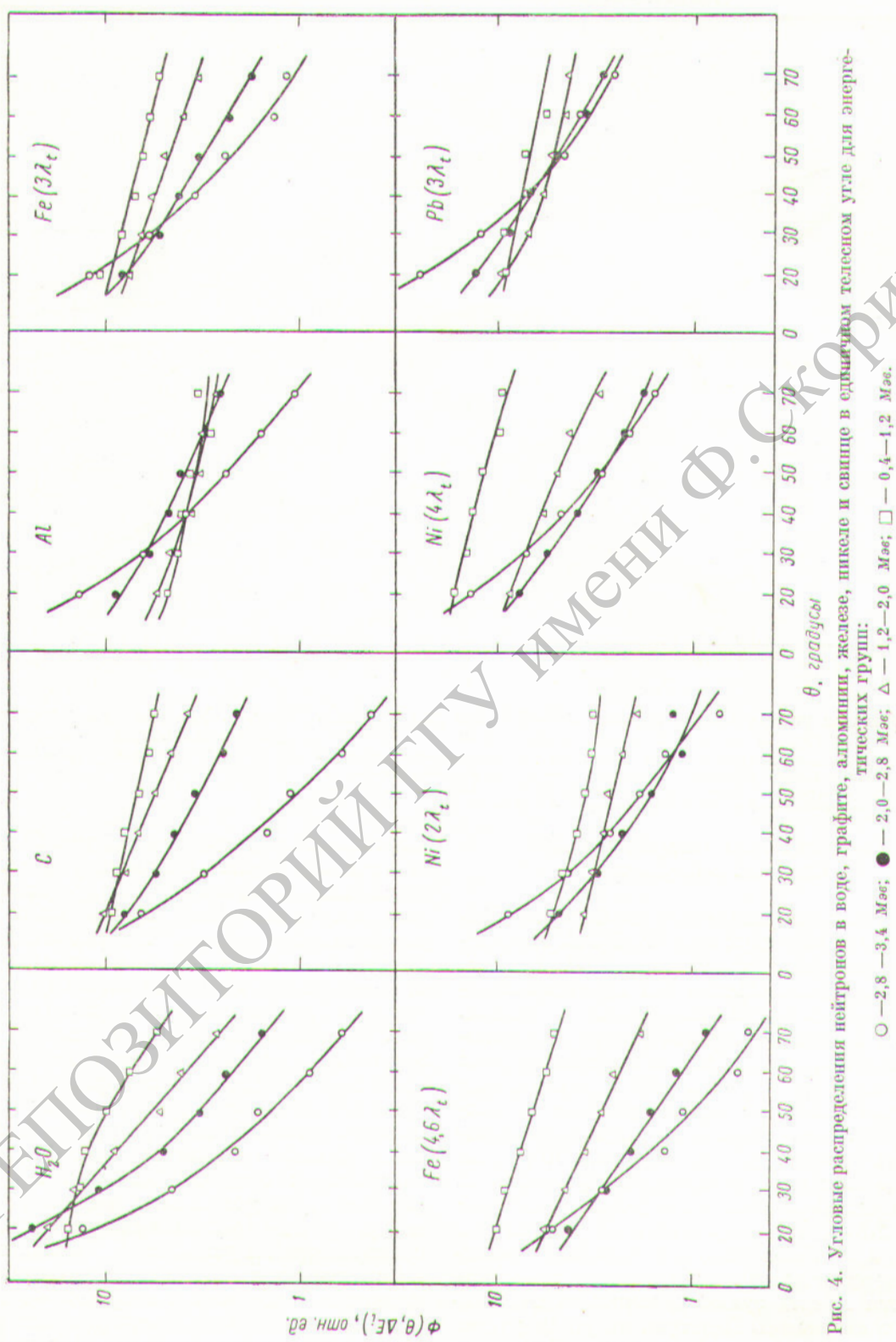


Рис. 4. Угловые распределения нейтронов в воде, граните, алюминии, железе, никеле и свинце в единичном телесном угле для энергетических групп:  
 $\circ$  —  $2.8 - 3.4$  MeV;  $\bullet$  —  $2.0 - 2.8$  MeV;  $\square$  —  $1.2 - 2.0$  MeV.

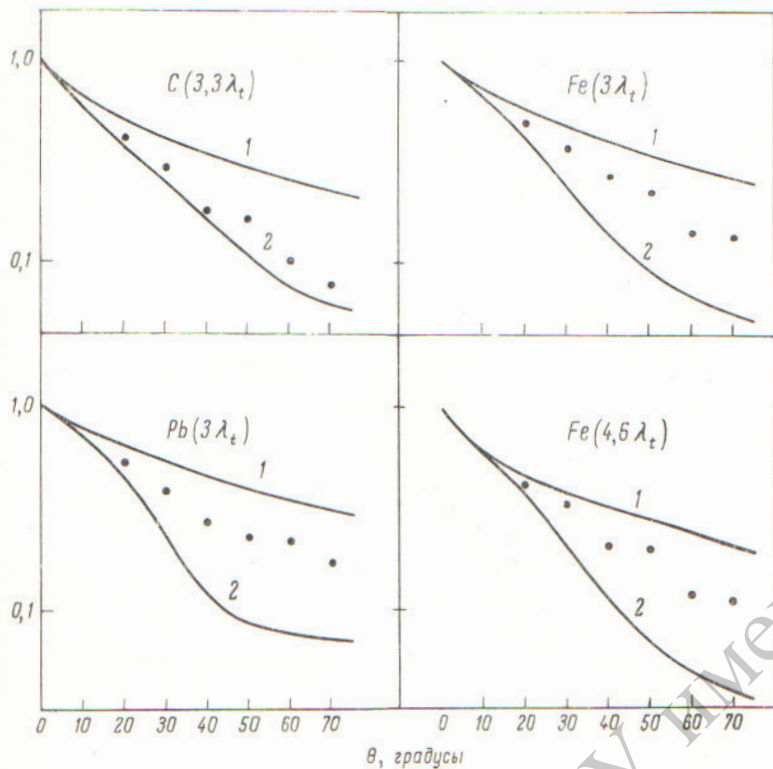


Рис. 5. Угловые распределения группы 2,8—3,4 Мэв для графита, свинца и железа в телесный угол  $d\Omega$ :

1 — расчет в приближении однократного рассеяния в предположении изотропности дифференциального сечения рассеяния; 2 — расчет в приближении однократного рассеяния для реального дифференциального сечения рассеяния нейтронов с энергией, близкой к 3,4 Мэв.

### Энергетические распределения быстрых нейтронов

Энергетические распределения быстрых нейтронов на границе двух сред  $\Phi(E_0, E, R)$  представляют не только самостоятельный интерес, но могут использоваться и для проверки полученных энергетических угловых распределений. На рис. 7 показаны энергетические распределения нейтронов, измеренные на границе раздела среда — вода (в полости A) и полученные интегрированием угловых энергетических распределений. Распространение результатов измерений на область углов, больших  $70^\circ$ , было получено экспоненциальной экстраполяцией. Экстраполяция в интервале углов  $0$ — $20^\circ$  для группы 2,8—3,4 Мэв проведена по результатам расчета в приближении однократного рассеяния. Энергетическое распределение нейтронов в полости A есть сумма рассеянного и нерассеянного излучений. Интеграл по углам учитывает только рассеянное излучение. Измерение

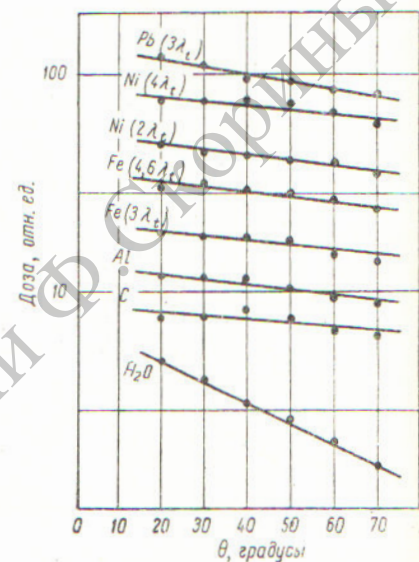


Рис. 6. Угловое распределение дозы нейтронов с энергией 0,4—3,4 Мэв в телесный угол  $d\Omega$ .

энергетических распределений при  $0^\circ$  позволяет найти вклад нерассеянного излучения. Удовлетворительное согласие между измеренными спектрами и спектрами, полученными интегрированием, показывает, что выбранная экспоненциальная экстраполяция является удачной и, по-видимому, отражает главные особенности угловых энергетических распределений. На рис. 7 приведены также результаты расчетов энергетических распределений методом моментов в воде, графите и железе для точечного изотропного источника нейтронов [8] и расчеты методом Монте-Карло [9] в железе для практически плоского мононаправленного источника нейтронов с энергией 3,0 Мэв. На этом же рисунке даны результаты измерений быстрых нейтронов однокристальным сцинтилляционным спектрометром в условиях барьера геометрии и практически плоского мононаправленного источника нейтронов с энергией  $\sim 3$  Мэв [10]. Детальное сравнение энергетических распределений затруднительно из-за различия началь-

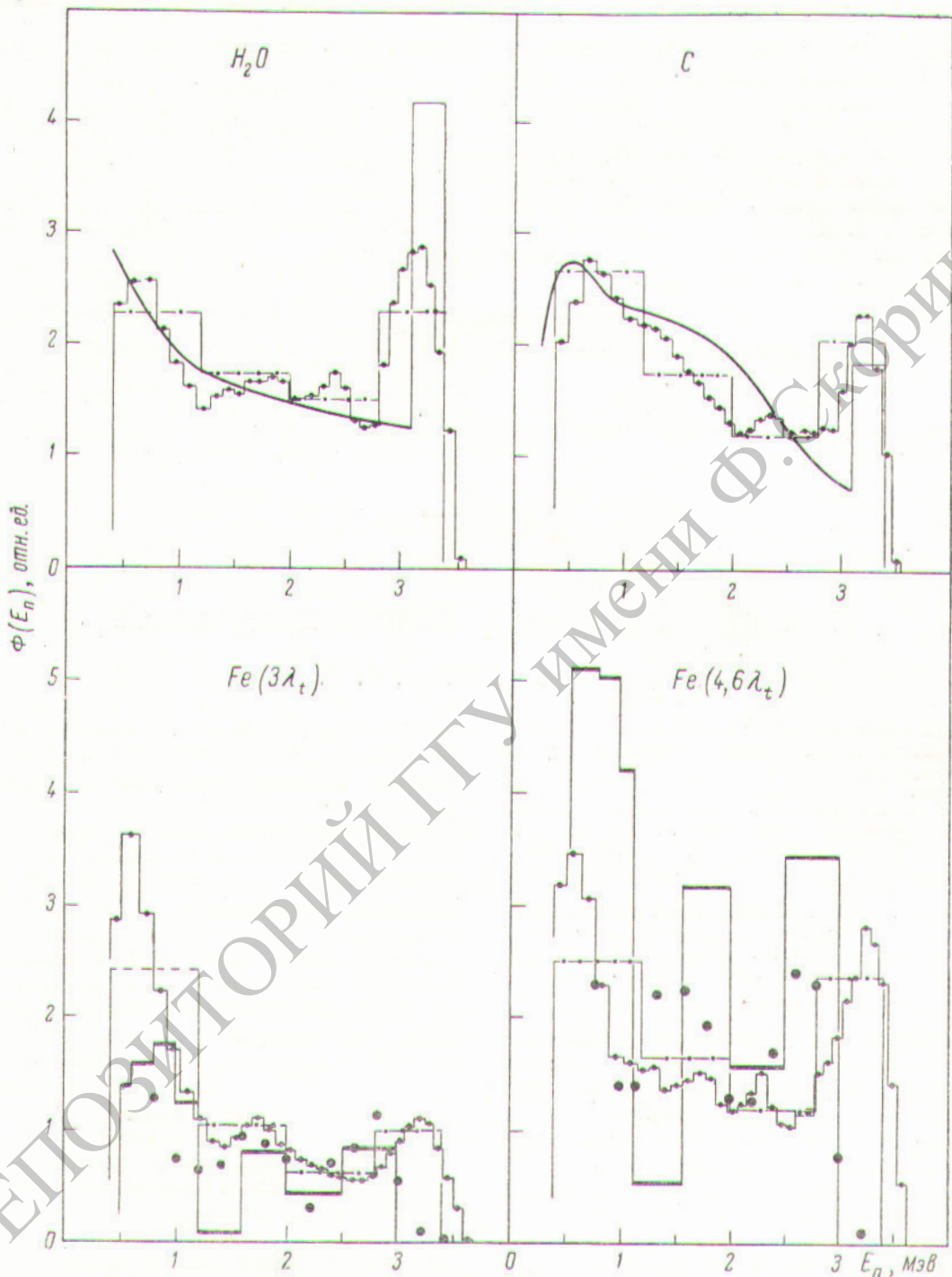


Рис. 7. Энергетические распределения нейтронов:

—●— измеренные на границе раздела среда — вода (в полости А); —·—·— угловые энергетические распределения, полученные интегрированием с учетом нерассеянных нейтронов; —— результаты расчета в воде и графите [8]; — (гистограмма) — расчет [9]; ● — результаты измерений [10] в барьерной геометрии.

ных энергий и геометрии. Однако разница между энергетическими распределениями, даже в столь различных геометриях, не очень велика.

Авторы считают своим приятным долгом выразить благодарность С. Г. Цыпину за ценные замечания и обсуждение и Л. А. Трыкову за полезные советы. Кроме того, авторы благодарны А. П. Климову за обеспечение четкой работы нейтронного генератора и А. Т. Бакову за помощь при измерениях.

Поступила в Редакцию 8/VIII 1963 г.

В окончательной редакции 2/VII 1964 г.

### ЛИТЕРАТУРА

1. F. Brooks. Nucl. Instrum. and Methods, No. 4, 151 (1959).

2. Р. Оузен. «Атомная техника за рубежом», № 1, 16 (1960).
3. В. А. Дулини, Ю. А. Казанский, И. В. Шугар. «Атомная энергия», 14, 488 (1963).
4. В. А. Дулини и др. «Приборы и техника эксперимента», № 2, 35 (1961).
5. К. Ланюш. Практические методы прикладного анализа. М., Физматиз, 1961, стр. 327.
6. Х. Д. Андерсон, Г. Н. Смиренин. «Приборы и техника эксперимента», № 5, 64 (1962).
7. Ю. А. Казанский. «Атомная энергия», 8, 432 (1960).
8. Г. Гольдштейн. Основы защиты реакторов. М., Госатомиздат, 1961.
9. M. Leim dörfel. FOA 4A 4196—411, May 1961. AB Atomenergi, Internat. Rep. RFA-88 (1962).
10. G. During, R. Jansson, N. Starfelt. Симпозиум по регистрации, дозиметрии и стандартизации нейтронов (Харвэлл, 10—14 декабря 1962 г.). Vienna, IAEA, SM-36/102.

УДК 537.591:550.35

## О нейтронном фоне у земной поверхности

Г. В. Горшков, В. А. Зябкин, О. С. Цветков

Измерены потоки медленных нейтронов над почвой и водной поверхностью. Поток медленных нейтронов над почвой оказался в 3,1 раза больше, чем над водной поверхностью. Рассматриваются возможные причины увеличения потока медленных нейтронов над почвой по сравнению с водной поверхностью. Рассчитан поток тепловых нейтронов на поверхности материала, в котором космическими лучами образуются быстрые нейтроны.

Сделан вывод о том, что разница потоков медленных нейтронов над почвой и водой в значительной мере обусловлена генерацией нейтронов космическим излучением в верхних слоях земной коры.

Ход высотной зависимости нейтронного потока космических лучей вблизи поверхности земли искается рядом факторов, основными из которых являются следующие:

1. Образование нейтронов космическим излучением в верхних слоях земной коры.

2. Искажение нейтронного спектра земной поверхностью. На этот фактор указывали в 1940 г. Бете, Корфф и Плячек [1], которые рассмотрели случай бесконечно протяженной водной поверхности. Часть быстрых нейтронов, образованных в атмосфере вблизи водной поверхности, падая в воду, замедляется в ней до тепловых энергий. Некоторые из этих тепловых нейтронов, диффундируя обратно в воздух, повышают плотность тепловых нейтронов вблизи

водной поверхности по сравнению со свободной атмосферой, где относительная плотность тепловых нейтронов значительно ниже вследствие их захвата азотом по реакции  $N^{14}(n, p)C^{14}$  (образование радиоактивного углерода).

Так как эффективность любого нейтронного детектора зависит от спектра регистрируемых нейтронов, то искажение этого спектра может повлиять на результаты измерений.

3. Образование нейтронов в земной коре вследствие естественной радиоактивности.

В настоящей работе мы попытались оценить поток медленных нейтронов на уровне моря над водной и земной поверхностями.

### Эксперимент

Нейтронное излучение регистрировалось сцинтилляционным счетчиком, который состоял из детектора медленных нейтронов и фотоумножителя с диаметром 200 м.м.

Детектор, изготовленный нами на основе обогащенной борной кислоты (обогащение  $B^{10}$  до 91%) и сернистого цинка методом совместного прокаливания [2] с учетом изменений, изложенных в работе [3], имел вид диска диаметром 200 м.м. Устройство сцинтилляционного счетчика кратко изложено в работах [4, 5].